

] 10 5r •

---

-%">1 ( " d b É ß - « í¥å AE × î±í© « , Ò \ Q b4 3? )¼

" & ,      ú §

UDC 681.323:621.771.22:658.2  
62-5:[662.98+621.771]  
669.012.5.001.7

千葉第3分塊工場の  
プロセス・コンピュータ・システムとその運転実績

Process Computer System of Chiba No.3 Slabbing Mill and Its Operation

片岡 健二\*

Kenji Kataoka

峰松 隆嗣\*\*

Takashi Minematsu

片山 宏平\*\*

柳沢 高義\*\*\*

## 2. 計算機システムの概要

リティ機能をそなえている。その主な機能項目を

本システムは、Fig. 1に示すようにミル制御計算機（A系）の下に均熱炉 DDC 計算機（B系）

Table 1 に示す。

### 2・2 均熱炉 DDC 計算機（B系）

て、炉内温度制御系（TC 1系）について説明する。うち温度の高い方が高温選択器で選ばれ、温度調節計（TC 1）が片方の TC 1+計管機の内部

流量制御系(FC 1)の目標値となり、また比率設

## ヒート・パターンの作成・登録・変更および指定

ヒート・パターンの関数で燃料流量を設定し、燃

には、各パスごとに厚み方向に強圧下してメカニズムを確立する。転倒時間だけ能率が低下する。パターンB、Cは

Start of calculation

(3) ヒート・パターンの試験的変更が自由に行え、熱量原単位低減に非常に有効である。Fig. 8 に示すように、熱量原単位が稼動後月を追うごとに低下している。

(4) フレーム長さの制御、補助バーナの燃焼制御による炉内温度の均一化に有効な手段と言える。<sup>6)</sup>

(5) 排ガスO<sub>2</sub>分析による低酸素燃焼は、熱量原単位低減、NO<sub>x</sub>抑制に寄与している<sup>6)</sup>。

$n = 126$   
 $\bar{x} = 0$   
 $\sigma = 10.5$

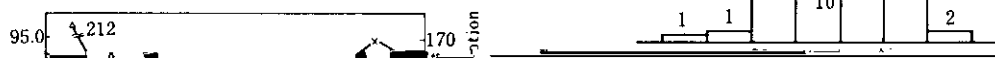


Table 4 Comparison of rolling performance

ム圧延でも安定している。パス数の誤りが発生し  
た場合は、ローラーを外すことで、正しくローリング

Pattern A	Pattern C
-----------	-----------

機能により自動圧下を継続できる。

